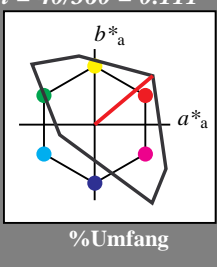
**Eingabe: Farbmétrisches Fernseh-Licht-System TLS00**für Bunton  $h^* = lab^*h = 40/360 = 0.111$  $lab^*tch$  und  $lab^*nch$ 

D65: Bunton O

LCH\*Ma: 51 100 40

olv\*Ma: 1.0 0.0 0.0

Dreiecks-Helligkeit

**TLS00; adaptierte CIELAB-Daten**

	$L^*=L^*_a$	$a^*_a$	$b^*_a$	$C^*_{ab,a}$	$h^*_{ab,a}$
O <sub>Ma</sub>	50.5	76.92	64.55	100.42	40
Y <sub>Ma</sub>	92.66	-20.69	90.75	93.08	103
L <sub>Ma</sub>	83.63	-82.75	79.9	115.04	136
C <sub>Ma</sub>	86.88	-46.16	-13.55	48.12	196
V <sub>Ma</sub>	30.39	76.06	-103.59	128.52	306
M <sub>Ma</sub>	57.3	94.35	-58.41	110.97	328
N <sub>Ma</sub>	0.01	0.0	0.0	0.0	0
W <sub>Ma</sub>	95.41	0.0	0.0	0.0	0
R <sub>CIE</sub>	39.92	58.74	27.99	65.07	25
J <sub>CIE</sub>	81.26	-2.88	71.56	71.62	92
G <sub>CIE</sub>	52.23	-42.41	13.6	44.55	162
B <sub>CIE</sub>	30.57	1.41	-46.46	46.49	272

%Umfang  
 $u^*_{rel} = 158$ 

1,00 ↑

↑

↑

↑

↑

↑

↑

↑

↑

↑

↑

↑

↑

↑

↑

↑

↑

↑

↑

↑

↑

↑

↑

↑

↑

↑

↑

↑

↑

↑

↑

↑

↑

↑

↑

↑

↑

↑

↑

↑

↑

↑

↑

↑

↑

↑

↑

↑

↑

↑

↑

↑

↑

↑

↑

↑

↑

↑

↑

↑

↑

↑

↑

↑

↑

↑

↑

↑

↑

↑

↑

↑

↑

↑

↑

↑

↑

↑

↑

↑

↑

↑

↑

↑

↑

↑

↑

↑

↑

↑

↑

↑

↑

↑

↑

↑

↑

↑

↑

↑

↑

↑

↑

↑

↑

↑

↑

↑

↑

↑

↑

↑

↑

↑

↑

↑

↑

↑

↑

↑

↑

↑

↑

↑

↑

↑

↑

↑

↑

↑

↑

↑

↑

↑

↑

↑

↑

↑

↑

↑

↑

↑

↑

↑

↑

↑

↑

↑

↑

↑

↑

↑

↑

↑

↑

↑

↑

↑

↑

↑

↑

↑

↑

↑

↑

↑

↑

↑

↑

↑

↑

↑

↑

↑

↑

↑

↑

↑

↑

↑

↑

↑

↑

↑

↑

↑

↑

↑

↑

↑

↑

↑

↑

↑

↑

↑

↑

↑

↑

↑

↑

↑

↑

↑

↑

↑

↑

↑

↑

↑

↑

↑

↑

↑

↑

↑

↑

↑

↑

↑

↑

↑

↑

↑

↑

↑

↑

↑

↑

↑

↑

↑

↑

↑

↑

↑

↑

↑

↑

↑

↑

↑

↑

↑

↑

↑

↑

↑

↑

↑

↑

↑

↑

↑

↑

↑

↑

↑

↑

↑

↑

↑

↑

↑

↑

↑

↑

↑

↑

↑

↑

↑

↑

↑

↑

↑

↑

↑

↑

↑

↑

↑

↑

↑

↑

↑

↑

↑

↑

↑

↑

↑

↑

↑

↑

↑

↑

↑

↑

↑

↑

↑

↑

↑

↑

↑

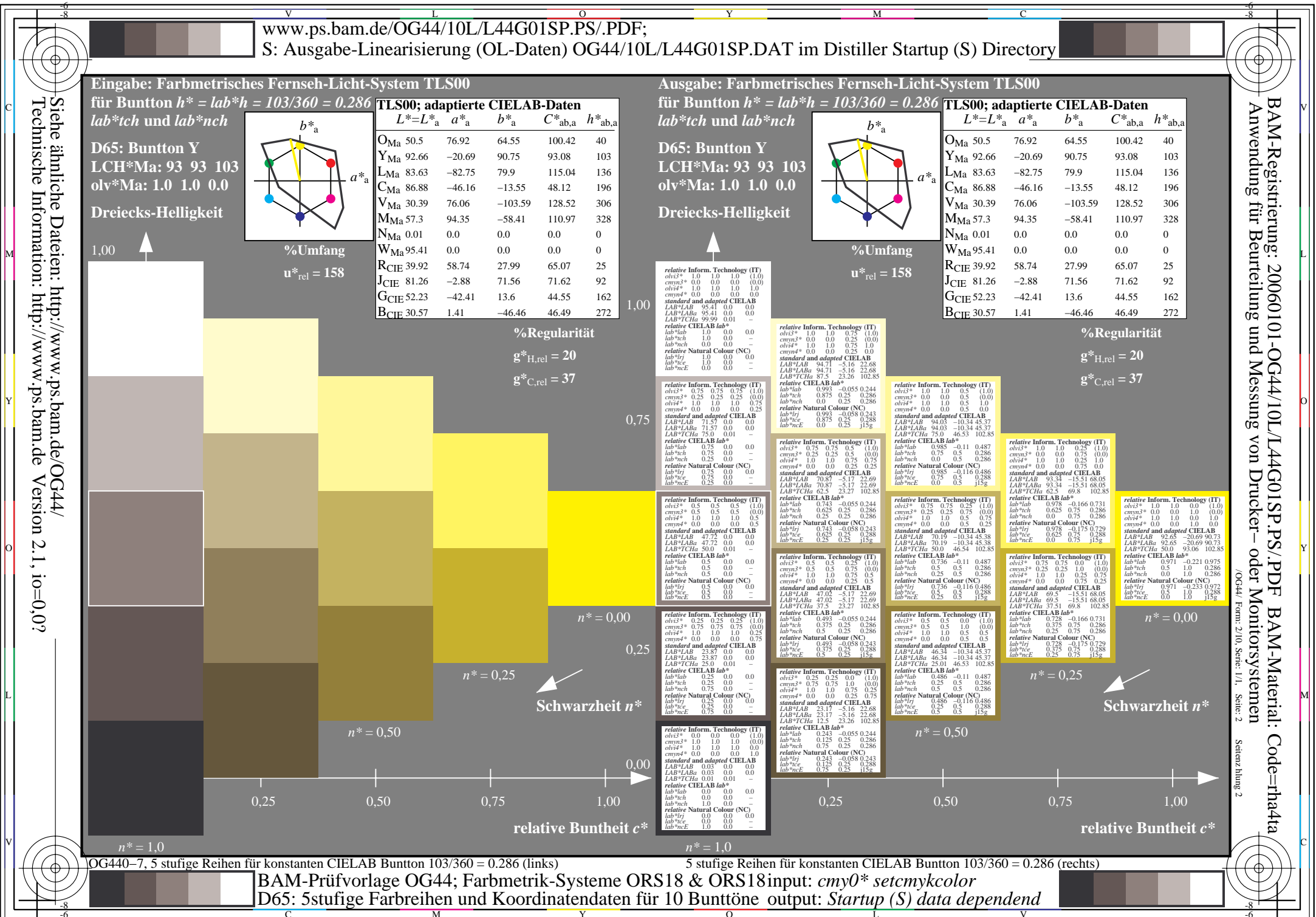
↑

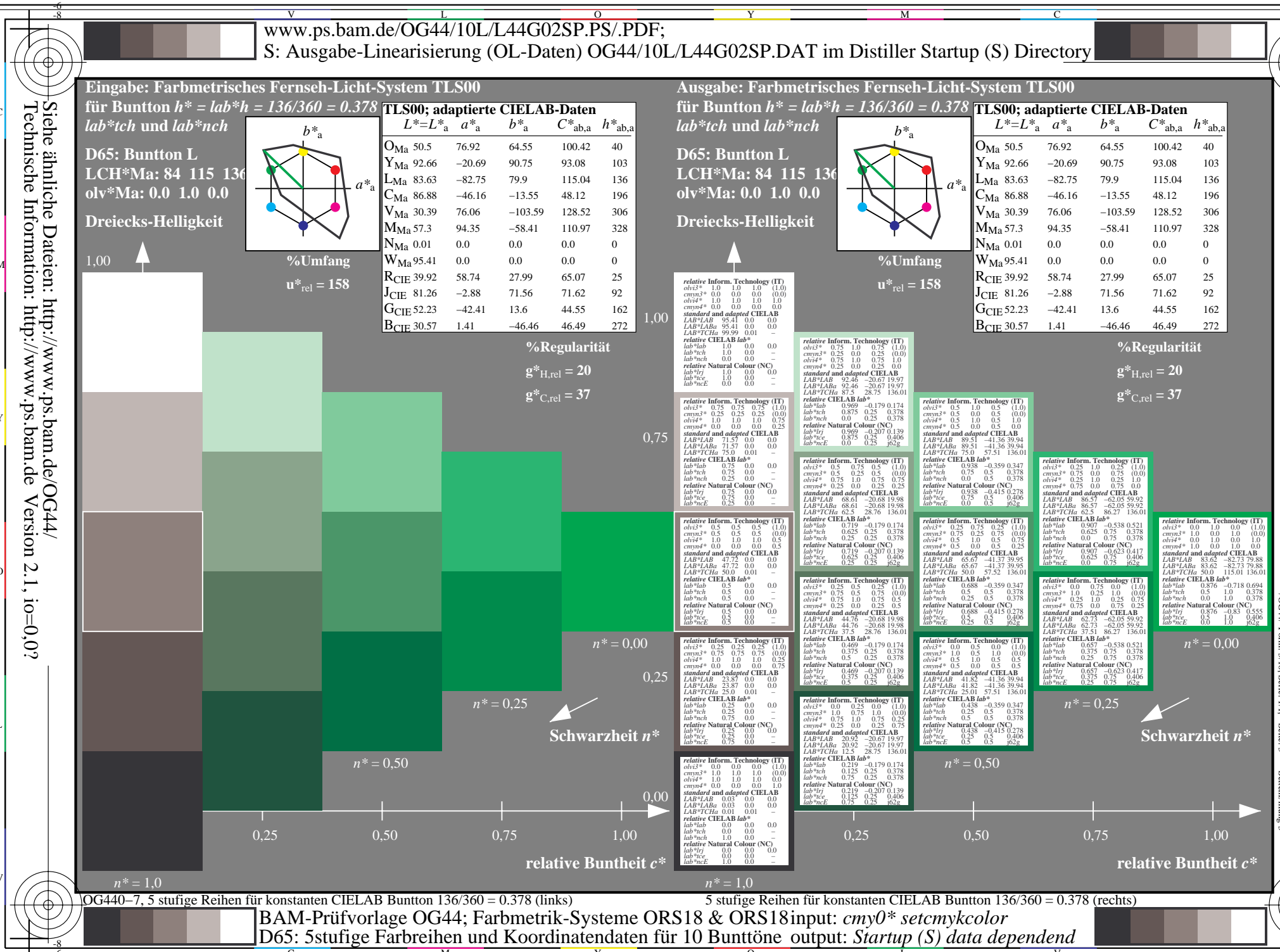
↑

↑

↑

↑





Siehe ähnliche Dateien: <http://www.ps.bam.de/OG44/>  
 Technische Information: <http://www.ps.bam.de> Version 2.1, io=0,0?

### Eingabe: Farbmétrisches Fernseh-Licht-System TLS00

für Bunton  $h^* = lab^*h = 196/360 = 0.545$

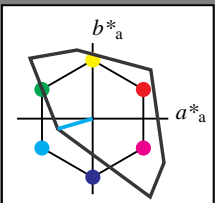
$lab^{*tch}$  und  $lab^{*nch}$

D65: Bunton C

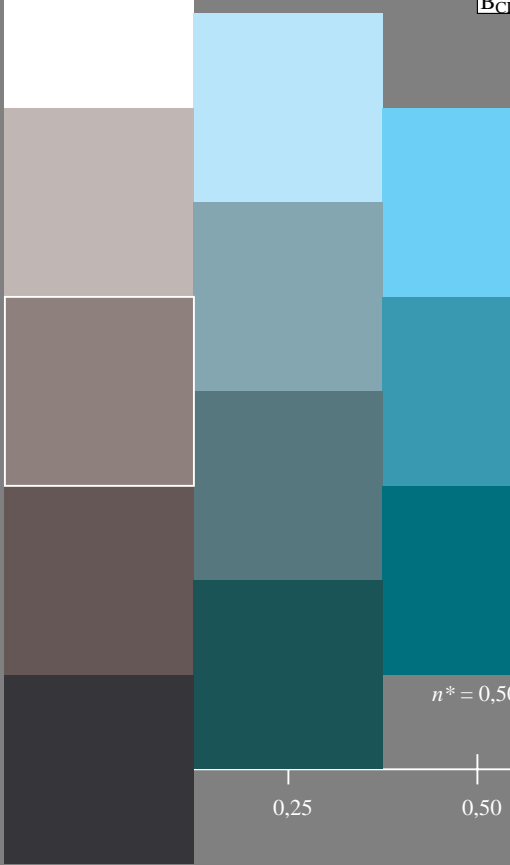
LCH\*Ma: 87 48 196

olv\*Ma: 0.0 1.0 1.0

Dreiecks-Helligkeit



1,00



$n^* = 1,0$

OG440-7, 5 stufige Reihen für konstanten CIELAB Bunnton 196/360 = 0,545 (links)

BAM-Prüfvorlage OG44; Farbmétrik-Systeme ORS18 & ORS18 input:  $cmy0*$  setcmykcolor

D65: 5stufige Farbreihen und Koordinatendaten für 10 Bunntöne output: Startup (S) data dependend

### Ausgabe: Farbmétrisches Fernseh-Licht-System TLS00

für Bunton  $h^* = lab^*h = 196/360 = 0.545$

$lab^{*tch}$  und  $lab^{*nch}$

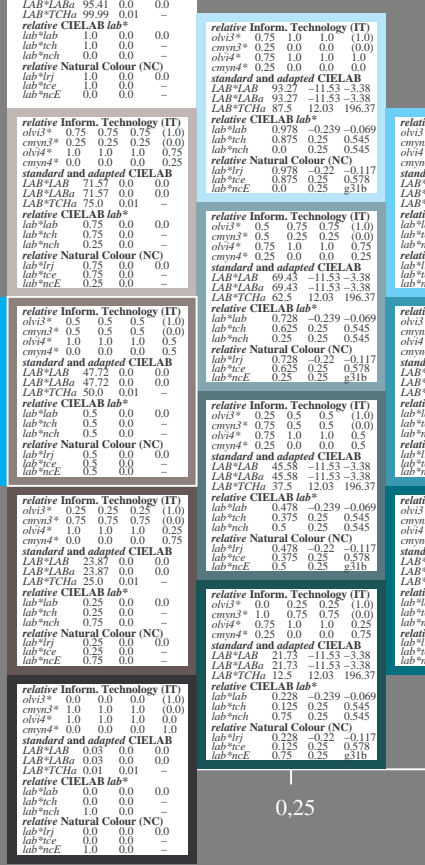
D65: Bunton C

LCH\*Ma: 87 48 196

olv\*Ma: 0.0 1.0 1.0

Dreiecks-Helligkeit

1,00



$n^* = 1,0$

5 stufige Reihen für konstanten CIELAB Bunnton 196/360 = 0,545 (rechts)

BAM-Prüfvorlage OG44; Farbmétrik-Systeme ORS18 & ORS18 input:  $cmy0*$  setcmykcolor

D65: 5stufige Farbreihen und Koordinatendaten für 10 Bunntöne output: Startup (S) data dependend

### TLS00; adaptierte CIELAB-Daten

$L^*=L^*_a$   $a^*_a$   $b^*_a$   $C^*_{ab,a}$   $h^*_{ab,a}$

O <sub>Ma</sub>	50,5	76,92	64,55	100,42	40
Y <sub>Ma</sub>	92,66	-20,69	90,75	93,08	103
L <sub>Ma</sub>	83,63	-82,75	79,9	115,04	136
C <sub>Ma</sub>	86,88	-46,16	-13,55	48,12	196
V <sub>Ma</sub>	30,39	76,06	-103,59	128,52	306
M <sub>Ma</sub>	57,3	94,35	-58,41	110,97	328
N <sub>Ma</sub>	0,01	0,0	0,0	0	0
W <sub>Ma</sub>	95,41	0,0	0,0	0	0
R <sub>CIE</sub>	39,92	58,74	27,99	65,07	25
J <sub>CIE</sub>	81,26	-2,88	71,56	71,62	92
G <sub>CIE</sub>	52,23	-42,41	13,6	44,55	162
B <sub>CIE</sub>	30,57	1,41	-46,46	46,49	272

### %Regularität

$g^*_{H,rel} = 20$

$g^*_{C,rel} = 37$

relative Inform. Technology (IT)	oliv3*	0,75	1,0	1,0	(1,0)
cmy3*	0,5	0,5	0,5	0,0	(0,0)
oliv4*	1,0	1,0	1,0	0,0	0,0
cmy4*	0,0	0,0	0,0	0,0	0,0
standard and adapted CIELAB					
LAB*LAB	0,0	0,0	0,0	0,0	0,0
LAB*TCh	95,41	0,0	0,0	0,0	0,0
LAB*TCh0	99,99	0,01	0,0	0,0	0,0

relative Inform. Technology (IT)	oliv3*	0,75	1,0	1,0	(1,0)
cmy3*	0,5	0,5	0,5	0,0	(0,0)
oliv4*	0,5	1,0	1,0	0,0	0,0
cmy4*	0,0	0,0	0,0	0,0	0,0
standard and adapted CIELAB					
LAB*LAB	0,0	0,0	0,0	0,0	0,0
LAB*TCh	93,27	-11,53	-3,38	0,0	0,0
LAB*TCh0	87,12	12,03	196,37	0,0	0,0

relative Inform. Technology (IT)	oliv3*	0,75	1,0	1,0	(1,0)
cmy3*	0,5	0,5	0,5	0,0	(0,0)
oliv4*	0,5	1,0	1,0	0,0	0,0
cmy4*	0,0	0,0	0,0	0,0	0,0
standard and adapted CIELAB					
LAB*LAB	71,57	0,0	0,0	0,0	0,0
LAB*TCh	71,57	0,0	0,0	0,0	0,0
LAB*TCh0	75,01	0,01	0,0	0,0	0,0

relative Inform. Technology (IT)	oliv3*	0,5	0,5	0,5	(1,0)
cmy3*	0,25	0,25	0,25	0,0	(0,0)
oliv4*	1,0	1,0	1,0	0,0	0,0
cmy4*	0,0	0,0	0,0	0,0	0,0
standard and adapted CIELAB					
LAB*LAB	47,72	0,0	0,0	0,0	0,0
LAB*TCh	47,72	0,0	0,0	0,0	0,0
LAB*TCh0	50,01	0,01	0,0	0,0	0,0

relative Inform. Technology (IT)	oliv3*	0,25	0,5	0,75	(1,0)
cmy3*	0,5	0,5	0,5	0,0	(0,0)
oliv4*	0,75	0,75	0,75	0,0	0,0
cmy4*	0,0	0,0	0,0	0,0	0,0
standard and adapted CIELAB					
LAB*LAB	23,87	0,0	0,0	0,0	0,0
LAB*TCh	23,87	0,01	0,0	0,0	0,0
LAB*TCh0	25,01	0,01	0,0	0,0	0,0

relative Inform. Technology (IT)	oliv3*	0,0	0,25	0,5	(1,0)
cmy3*	1,0	1,0	1,0	0,0	(0,0)
oliv4*	1,0	1,0	1,0	0,0	0,0
cmy4*	0,0	0,0	0,0	0,0	0,0
standard and adapted CIELAB					
LAB*LAB	0,03	0,0	0,0	0,0	0,0
LAB*TCh	0,01	0,01	0,0	0,0	0,0
LAB*TCh0	0,21	0,21	0,21	0,01	0,0

relative Inform. Technology (IT)	oliv3*	0,228	-0,239	-0,069	
cmy3*	0,75	0,75	0,75	0,0	
oliv4*	0,25	0,25	0,25	0,0	
cmy4*	0,0	0,0	0,0	0,0	
relative Natural Colour (NC)					
lab*irj	0,228	-0,22	-0,117		
lab*ice	0,75	0,25	0,578		
lab*nE	0,75	0,25	0,578		

$n^* = 0,00$

$n^* = 0,25$

$n^* = 0,50$

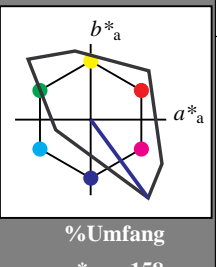
$n^* = 1,00$

Siehe ähnliche Dateien: <http://www.ps.bam.de/OG44/>  
 Technische Information: <http://www.ps.bam.de> Version 2.1, io=0,0?

### Eingabe: Farbmétrisches Fernseh-Licht-System TLS00

für Bunton  $h^* = lab^*h = 306/360 = 0.851$

$lab^{*tch}$  und  $lab^{*nch}$



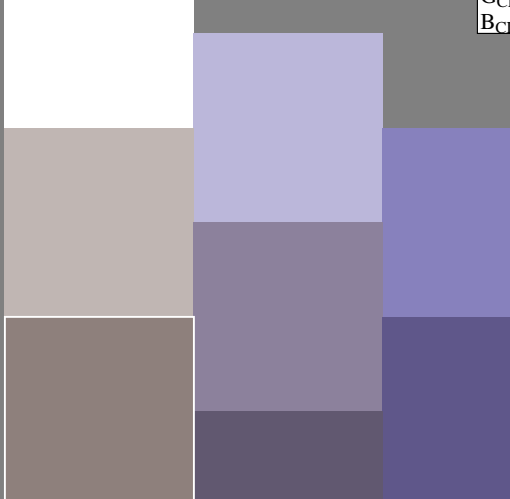
D65: Bunton V

LCH\*Ma: 30 129 306

olv\*Ma: 0.0 0.0 1.0

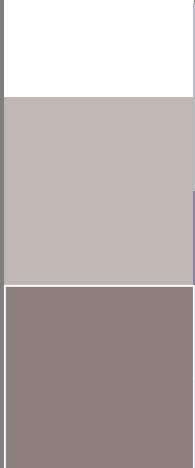
Dreiecks-Helligkeit

1,00



### TLS00; adaptierte CIELAB-Daten

	$L^*=L^*_a$	$a^*_a$	$b^*_a$	$C^*_{ab,a}$	$h^*_{ab,a}$
O <sub>Ma</sub>	50.5	76.92	64.55	100.42	40
Y <sub>Ma</sub>	92.66	-20.69	90.75	93.08	103
L <sub>Ma</sub>	83.63	-82.75	79.9	115.04	136
C <sub>Ma</sub>	86.88	-46.16	-13.55	48.12	196
V <sub>Ma</sub>	30.39	76.06	-103.59	128.52	306
M <sub>Ma</sub>	57.3	94.35	-58.41	110.97	328
N <sub>Ma</sub>	0.01	0.0	0.0	0.0	0
W <sub>Ma</sub>	95.41	0.0	0.0	0.0	0
R <sub>CIE</sub>	39.92	58.74	27.99	65.07	25
J <sub>CIE</sub>	81.26	-2.88	71.56	71.62	92
G <sub>CIE</sub>	52.23	-42.41	13.6	44.55	162
B <sub>CIE</sub>	30.57	1.41	-46.46	46.49	272



### %Regularität

$g^*_{H,rel} = 20$

$g^*_{C,rel} = 37$

$n^* = 0,00$

$n^* = 0,25$

$n^* = 0,50$

$n^* = 0,75$

$n^* = 1,00$

$n^* = 0,00$

$n^* = 0,25$

$n^* = 0,50$

$n^* = 0,75$

$n^* = 1,00$

$n^* = 0,00$

$n^* = 0,25$

$n^* = 0,50$

$n^* = 0,75$

$n^* = 1,00$

### Ausgabe: Farbmétrisches Fernseh-Licht-System TLS00

für Bunton  $h^* = lab^*h = 306/360 = 0.851$

$lab^{*tch}$  und  $lab^{*nch}$

D65: Bunton V

LCH\*Ma: 30 129 306

olv\*Ma: 0.0 0.0 1.0

Dreiecks-Helligkeit

1,00



### TLS00; adaptierte CIELAB-Daten

	$L^*=L^*_a$	$a^*_a$	$b^*_a$	$C^*_{ab,a}$	$h^*_{ab,a}$
O <sub>Ma</sub>	50.5	76.92	64.55	100.42	40
Y <sub>Ma</sub>	92.66	-20.69	90.75	93.08	103
L <sub>Ma</sub>	83.63	-82.75	79.9	115.04	136
C <sub>Ma</sub>	86.88	-46.16	-13.55	48.12	196
V <sub>Ma</sub>	30.39	76.06	-103.59	128.52	306
M <sub>Ma</sub>	57.3	94.35	-58.41	110.97	328
N <sub>Ma</sub>	0.01	0.0	0.0	0.0	0
W <sub>Ma</sub>	95.41	0.0	0.0	0.0	0
R <sub>CIE</sub>	39.92	58.74	27.99	65.07	25
J <sub>CIE</sub>	81.26	-2.88	71.56	71.62	92
G <sub>CIE</sub>	52.23	-42.41	13.6	44.55	162
B <sub>CIE</sub>	30.57	1.41	-46.46	46.49	272



### TLS00; adaptierte CIELAB-Daten

	$L^*=L^*_a$	$a^*_a$	$b^*_a$	$C^*_{ab,a}$	$h^*_{ab,a}$
O <sub>Ma</sub>	50.5	76.92	64.55	100.42	40
Y <sub>Ma</sub>	92.66	-20.69	90.75	93.08	103
L <sub>Ma</sub>	83.63	-82.75	79.9	115.04	136
C <sub>Ma</sub>	86.88	-46.16	-13.55	48.12	196
V <sub>Ma</sub>	30.39	76.06	-103.59	128.52	306
M <sub>Ma</sub>	57.3	94.35	-58.41	110.97	328
N <sub>Ma</sub>	0.01	0.0	0.0	0.0	0
W <sub>Ma</sub>	95.41	0.0	0.0	0.0	0
R <sub>CIE</sub>	39.92	58.74	27.99	65.07	25
J <sub>CIE</sub>	81.26	-2.88	71.56	71.62	92
G <sub>CIE</sub>	52.23	-42.41	13.6	44.55	162
B <sub>CIE</sub>	30.57	1.41	-46.46	46.49	272



### TLS00; adaptierte CIELAB-Daten

	$L^*=L^*_a$	$a^*_a$	$b^*_a$	$C^*_{ab,a}$	$h^*_{ab,a}$
O <sub>Ma</sub>	50.5	76.92	64.55	100.42	40
Y <sub>Ma</sub>	92.66	-20.69	90.75	93.08	103
L <sub>Ma</sub>	83.63	-82.75	79.9	115.04	136
C <sub>Ma</sub>	86.88	-46.16	-13.55	48.12	196
V <sub>Ma</sub>	30.39	76.06	-103.59	128.52	306
M <sub>Ma</sub>	57.3	94.35	-58.41	110.97	328
N <sub>Ma</sub>	0.01	0.0	0.0	0.0	0
W <sub>Ma</sub>	95.41	0.0	0.0	0.0	0
R <sub>CIE</sub>	39.92	58.74	27.99	65.07	25
J <sub>CIE</sub>	81.26	-2.88	71.56	71.62	92
G <sub>CIE</sub>	52.23	-42.41	13.6	44.55	162
B <sub>CIE</sub>	30.57	1.41	-46.46	46.49	272



### TLS00; adaptierte CIELAB-Daten

	$L^*=L^*_a$	$a^*_a$	$b^*_a$	$C^*_{ab,a}$	$h^*_{ab,a}$
O <sub>Ma</sub>	50.5	76.92	64.55	100.42	40
Y <sub>Ma</sub>	92.66	-20.69	90.75	93.08	103
L <sub>Ma</sub>	83.63	-82.75	79.9	115.04	136
C <sub>Ma</sub>	86.88	-46.16	-13.55	48.12	196
V <sub>Ma</sub>	30.39	76.06	-103.59	128.52	306
M <sub>Ma</sub>	57.3	94.35	-58.41	110.97	328
N <sub>Ma</sub>	0.01	0.0	0.0	0.0	0
W <sub>Ma</sub>	95.41	0.0	0.0	0.0	0
R <sub>CIE</sub>	39.92	58.74	27.99	65.07	25
J <sub>CIE</sub>	81.26	-2.88	71.56	71.62	92
G <sub>CIE</sub>	52.23	-42.41	13.6	44.55	162
B <sub>CIE</sub>	30.57	1.41	-46.46	46.49	272



### TLS00; adaptierte CIELAB-Daten

	$L^*=L^*_a$	$a^*_a$	$b^*_a$	$C^*_{ab,a}$	$h^*_{ab,a}$
O <sub>Ma</sub>	50.5	76.92	64.55	100.42	40
Y <sub>Ma</sub>	92.66	-20.69	90.75	93.08	103
L <sub>Ma</sub>	83.63	-82.75	79.9	115.04	136
C <sub>Ma</sub>	86.88	-46.16	-13.55	48.12	196
V <sub>Ma</sub>	30.39	76.06	-103.59	128.52	306
M <sub>Ma</sub>	57.3	94.35	-58.41	110.97	328
N <sub>Ma</sub>	0.01	0.0	0.0	0.0	0
W <sub>Ma</sub>	95.41	0.0	0.0	0.0	0
R <sub>CIE</sub>	39.92	58.74	27.99	65.07	25
J <sub>CIE</sub>	81.26	-2.88	71.56	71.62	92
G <sub>CIE</sub>	52.23	-42.41	13.6	44.55	162
B <sub>CIE</sub>	30.57	1.41	-46.46	46.49	272



### TLS00; adaptierte CIELAB-Daten

	$L^*=L^*_a$	$a^*_a$	$b^*_a$	$C^*_{ab,a}$	$h^*_{ab,a}$
O <sub>Ma</sub>	50.5	76.92	64.55	100.42	40
Y <sub>Ma</sub>	92.66	-20.69	90.75	93.08	103
L <sub>Ma</sub>	83.63	-82.75	79.9	115.04	136
C <sub>Ma</sub>	86.88	-46.16	-13.55	48.12	196
V <sub>Ma</sub>	30.39	76.06	-103.59	128.52	306
M <sub>Ma</sub>	57.3	94.35	-58.41	110.97	328
N <sub>Ma</sub>	0.01	0.0	0.0	0.0	0
W <sub>Ma</sub>	95.41	0.0	0.0	0.0	0
R <sub>CIE</sub>	39.92	58.74	27.99	65.07	25
J <sub>CIE</sub>	81.26	-2.88	71.56	71.62	92
G <sub>CIE</sub>	52.23	-42.41	13.6	44.55	162
B <sub>CIE</sub>	30.57	1.41	-46.46	46.49	272



### TLS00; adaptierte CIELAB-Daten

	$L^*=L^*_a$	$a^*_a$	$b^*_a$
--	-------------	---------	---------

c

L

M

Y

O

n\*

L

V

-8  
-6

C

M

Y

O

L

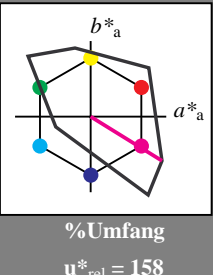
V

C

### Eingabe: Farbmétrisches Fernseh-Licht-System TLS00

für Bunton  $h^* = lab^*h = 328/360 = 0.912$

$lab^{*tch}$  und  $lab^{*nch}$



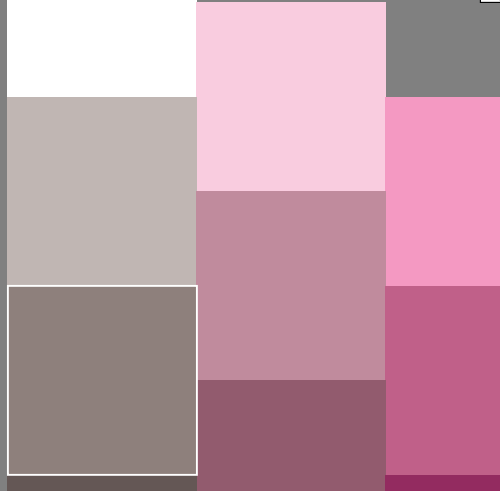
D65: Bunton M

LCH\*Ma: 57 111 328

olv\*Ma: 1.0 0.0 1.0

Dreiecks-Helligkeit

1,00



### TLS00; adaptierte CIELAB-Daten

	$L^* = L^*_a$	$a^* a$	$b^* a$	$C^*_{ab,a}$	$h^*_{ab,a}$
O <sub>Ma</sub>	50.5	76.92	64.55	100.42	40
Y <sub>Ma</sub>	92.66	-20.69	90.75	93.08	103
L <sub>Ma</sub>	83.63	-82.75	79.9	115.04	136
C <sub>Ma</sub>	86.88	-46.16	-13.55	48.12	196
V <sub>Ma</sub>	30.39	76.06	-103.59	128.52	306
M <sub>Ma</sub>	57.3	94.35	-58.41	110.97	328
N <sub>Ma</sub>	0.01	0.0	0.0	0	0
W <sub>Ma</sub>	95.41	0.0	0.0	0	0
R <sub>CIE</sub>	39.92	58.74	27.99	65.07	25
J <sub>CIE</sub>	81.26	-2.88	71.56	71.62	92
G <sub>CIE</sub>	52.23	-42.41	13.6	44.55	162
B <sub>CIE</sub>	30.57	1.41	-46.46	46.49	272

OG440-7, 5 stufige Reihen für konstanten CIELAB Bunton 328/360 = 0.912 (links)

BAM-Prüfvorlage OG44; Farbmétrik-Systeme ORS18 & ORS18 input: cmy0\* setcmykcolor

D65: 5stufige Farbreihen und Koordinatendaten für 10 Bunntöne output: Startup (S) data dependend

### Ausgabe: Farbmétrisches Fernseh-Licht-System TLS00

für Bunton  $h^* = lab^*h = 328/360 = 0.912$

$lab^{*tch}$  und  $lab^{*nch}$

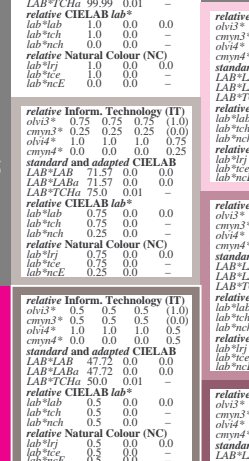
D65: Bunton M

LCH\*Ma: 57 111 328

olv\*Ma: 1.0 0.0 1.0

Dreiecks-Helligkeit

1,00



%Umfang

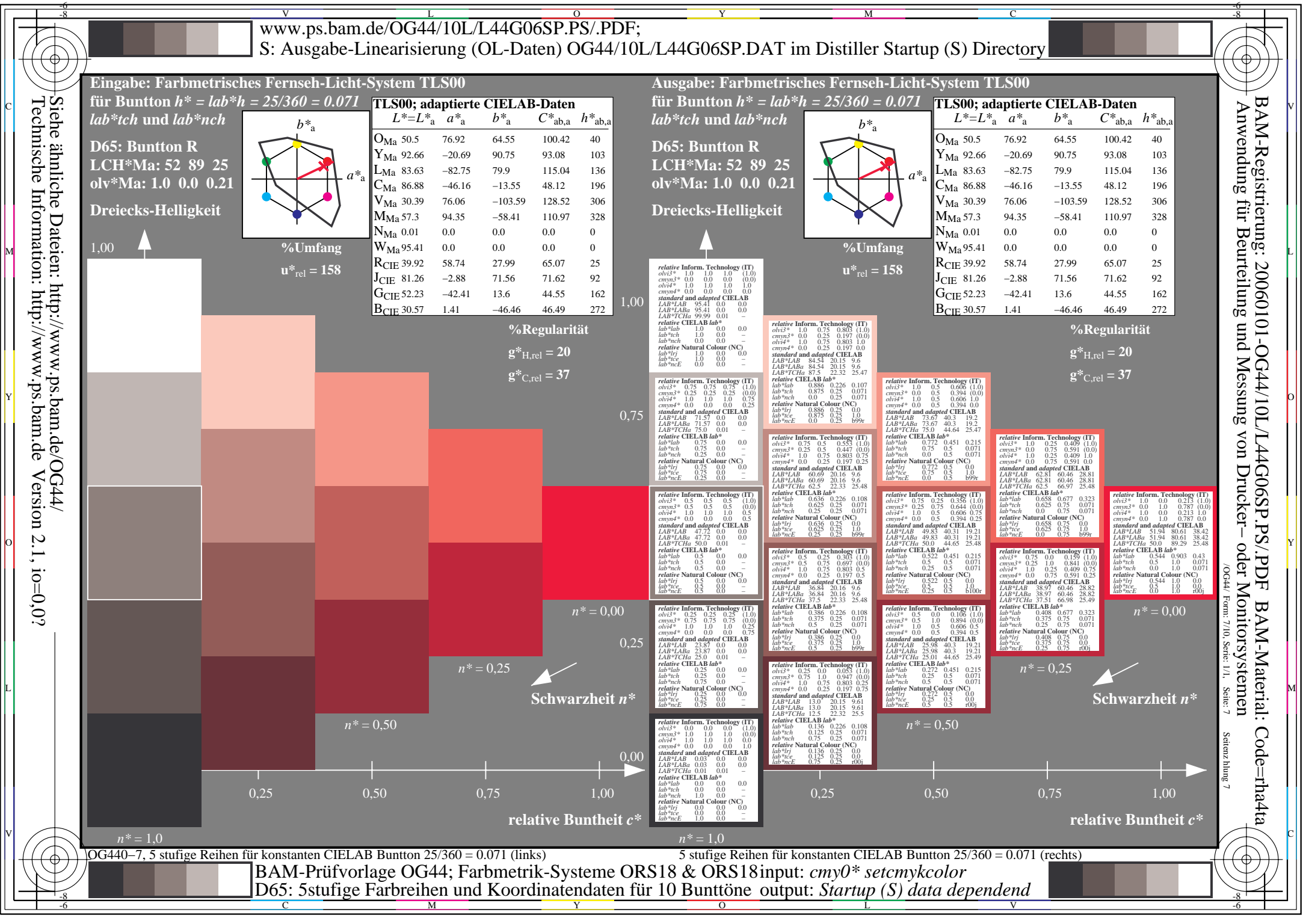
$u^*_{rel} = 158$

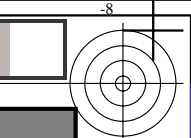
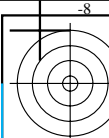
%Regularität

$g^*_{H,rel} = 20$

$g^*_{C,rel} = 37$

%Regularität





### Eingabe: Farbmétrisches Fernseh-Licht-System TLS00

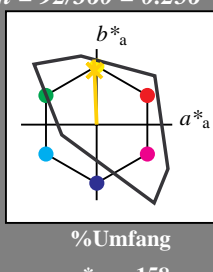
für Bunton  $h^* = lab^*h = 92/360 = 0.256$   
 $lab^*tch$  und  $lab^*nch$

D65: Bunton J

LCH\*Ma: 85 86 92

olv\*Ma: 1.0 0.82 0.0

Dreiecks-Helligkeit



%Umfang  
 $u^*_{rel} = 158$

### TLS00; adaptierte CIELAB-Daten

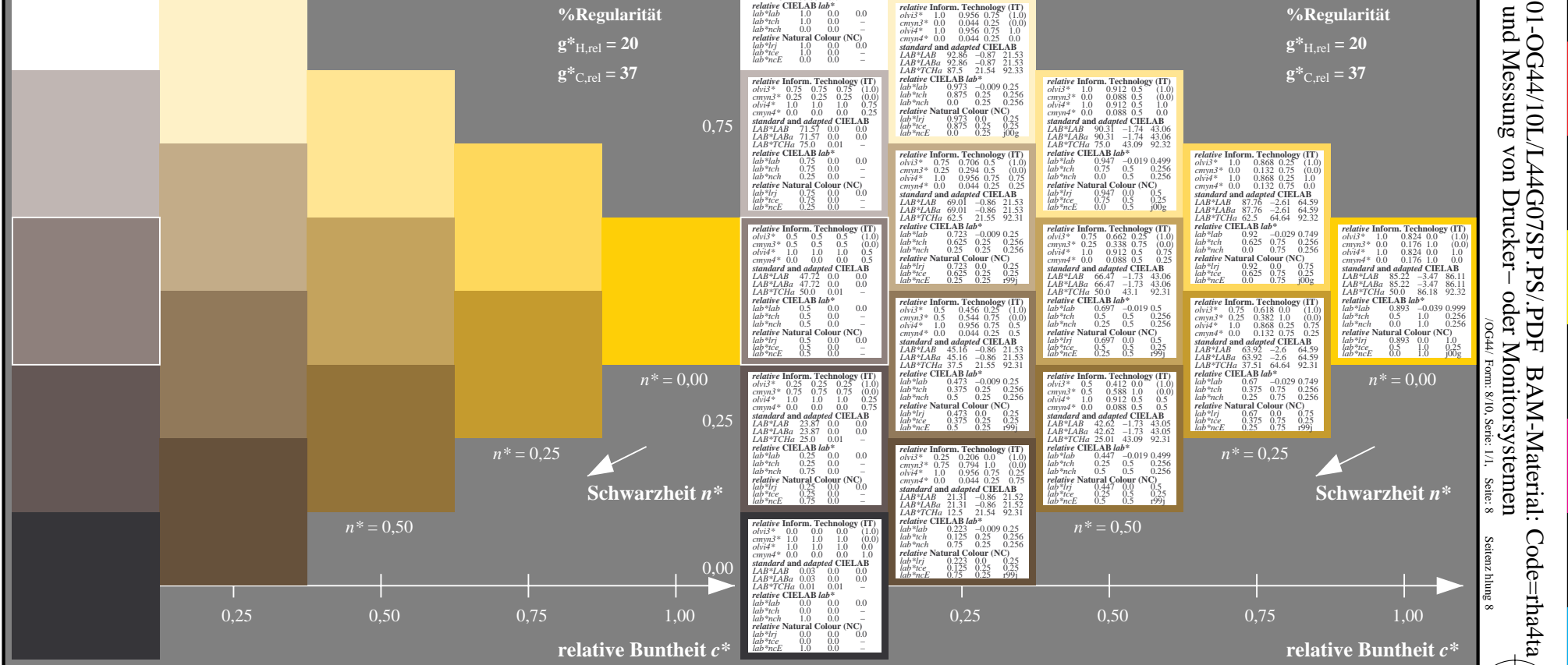
	$L^*=L^*_a$	$a^*_a$	$b^*_a$	$C^*_{ab,a}$	$h^*_{ab,a}$
O <sub>Ma</sub>	50.5	76.92	64.55	100.42	40
Y <sub>Ma</sub>	92.66	-20.69	90.75	93.08	103
L <sub>Ma</sub>	83.63	-82.75	79.9	115.04	136
C <sub>Ma</sub>	86.88	-46.16	-13.55	48.12	196
V <sub>Ma</sub>	30.39	76.06	-103.59	128.52	306
M <sub>Ma</sub>	57.3	94.35	-58.41	110.97	328
N <sub>Ma</sub>	0.01	0.0	0.0	0.0	0
W <sub>Ma</sub>	95.41	0.0	0.0	0.0	0
R <sub>CIE</sub>	39.92	58.74	27.99	65.07	25
J <sub>CIE</sub>	81.26	-2.88	71.56	71.62	92
G <sub>CIE</sub>	52.23	-42.41	13.6	44.55	162
B <sub>CIE</sub>	30.57	1.41	-46.46	46.49	272



%Regularität

$g^*_{H,rel} = 20$

$g^*_{C,rel} = 37$



OG440-7, 5 stufige Reihen für konstanten CIELAB Bunton 92/360 = 0.256 (links)

### Ausgabe: Farbmétrisches Fernseh-Licht-System TLS00

für Bunton  $h^* = lab^*h = 92/360 = 0.256$

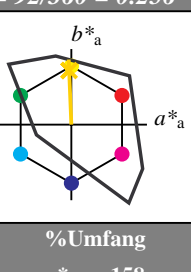
$lab^*tch$  und  $lab^*nch$

D65: Bunton J

LCH\*Ma: 85 86 92

olv\*Ma: 1.0 0.82 0.0

Dreiecks-Helligkeit



%Umfang  
 $u^*_{rel} = 158$

### TLS00; adaptierte CIELAB-Daten

	$L^*=L^*_a$	$a^*_a$	$b^*_a$	$C^*_{ab,a}$	$h^*_{ab,a}$
O <sub>Ma</sub>	50.5	76.92	64.55	100.42	40
Y <sub>Ma</sub>	92.66	-20.69	90.75	93.08	103
L <sub>Ma</sub>	83.63	-82.75	79.9	115.04	136
C <sub>Ma</sub>	86.88	-46.16	-13.55	48.12	196
V <sub>Ma</sub>	30.39	76.06	-103.59	128.52	306
M <sub>Ma</sub>	57.3	94.35	-58.41	110.97	328
N <sub>Ma</sub>	0.01	0.0	0.0	0.0	0
W <sub>Ma</sub>	95.41	0.0	0.0	0.0	0
R <sub>CIE</sub>	39.92	58.74	27.99	65.07	25
J <sub>CIE</sub>	81.26	-2.88	71.56	71.62	92
G <sub>CIE</sub>	52.23	-42.41	13.6	44.55	162
B <sub>CIE</sub>	30.57	1.41	-46.46	46.49	272



%Regularität

$g^*_{H,rel} = 20$

$g^*_{C,rel} = 37$

	$L^*=L^*_a$	$a^*_a$	$b^*_a$	$C^*_{ab,a}$	$h^*_{ab,a}$
O <sub>Ma</sub>	50.5	76.92	64.55	100.42	40
Y <sub>Ma</sub>	92.66	-20.69	90.75	93.08	103
L <sub>Ma</sub>	83.63	-82.75	79.9	115.04	136
C <sub>Ma</sub>	86.88	-46.16	-13.55	48.12	196
V <sub>Ma</sub>	30.39	76.06	-103.59	128.52	306
M <sub>Ma</sub>	57.3	94.35	-58.41	110.97	328
N <sub>Ma</sub>	0.01	0.0	0.0	0.0	0
W <sub>Ma</sub>	95.41	0.0	0.0	0.0	0
R <sub>CIE</sub>	39.92	58.74	27.99	65.07	25
J <sub>CIE</sub>	81.26	-2.88	71.56	71.62	92
G <sub>CIE</sub>	52.23	-42.41	13.6	44.55	162
B <sub>CIE</sub>	30.57	1.41	-46.46	46.49	272



%Regularität

$g^*_{H,rel} = 20$

$g^*_{C,rel} = 37$

	$L^*=L^*_a$	$a^*_a$	$b^*_a$	$C^*_{ab,a}$	$h^*_{ab,a}$
O <sub>Ma</sub>	50.5	76.92	64.55	100.42	40
Y <sub>Ma</sub>	92.66	-20.69	90.75	93.08	103
L <sub>Ma</sub>	83.63	-82.75	79.9	115.04	136
C <sub>Ma</sub>	86.88	-46.16	-13.55	48.12	196
V <sub>Ma</sub>	30.39	76.06	-103.59	128.52	306
M <sub>Ma</sub>	57.3	94.35	-58.41	110.97	328
N <sub>Ma</sub>	0.01	0.0	0.0	0.0	0
W <sub>Ma</sub>	95.41	0.0	0.0	0.0	0
R <sub>CIE</sub>	39.92	58.74	27.99	65.07	25
J <sub>CIE</sub>	81.26	-2.88	71.56	71.62	92
G <sub>CIE</sub>	52.23	-42.41	13.6	44.55	162
B <sub>CIE</sub>	30.57	1.41	-46.46	46.49	272



%Regularität

$g^*_{H,rel} = 20$

$g^*_{C,rel} = 37$

	$L^*=L^*_a$	$a^*_a$	$b^*_a$	$C^*_{ab,a}$	$h^*_{ab,a}$
O <sub>Ma</sub>	50.5	76.92	64.55	100.42	40
Y <sub>Ma</sub>	92.66	-20.69	90.75	93.08	103
L <sub>Ma</sub>	83.63	-82.75	79.9	115.04	136
C <sub>Ma</sub>	86.88	-46.16	-13.55	48.12	196
V <sub>Ma</sub>	30.39	76.06	-103.59	128.52	306
M <sub>Ma</sub>	57.3	94.35	-58.41	110.97	328
N <sub>Ma</sub>	0.01	0.0	0.0	0.0	0
W <sub>Ma</sub>	95.41	0.0	0.0	0.0	0
R <sub>CIE</sub>	39.92	58.74	27.99	65.07	25
J <sub>CIE</sub>	81.26	-2.88	71.56	71.62	92
G <sub>CIE</sub>	52.23	-42.41	13.6	44.55	162
B <sub>CIE</sub>	30.57	1.41	-46.46	46.49	272



%Regularität

$g^*_{H,rel} = 20$

$g^*_{C,rel} = 37$

	$L^*=L^*_a$	$a^*_a$	$b^*_a$	$C^*_{ab,a}$	$h^*_{ab,a}$
O <sub>Ma</sub>	50.5	76.92	64.55	100.42	40
Y <sub>Ma</sub>	92.66	-20.69	90.75	93.08	103
L <sub>Ma</sub>	83.63	-82.75	79.9	115.04	136
C <sub>Ma</sub>	86.88	-46.16	-13.55	48.12	196
V <sub>Ma</sub>	30.39	76.06	-103.59	128.52	306
M <sub>Ma</sub>	57.3	94.35	-58.41	110.97	328
N <sub>Ma</sub>	0.01	0.0	0.0	0.0	0
W <sub>Ma</sub>	95.41	0.0	0.0	0.0	0
R <sub>CIE</sub>	39.92	58.74	27.99	65.07	25
J <sub>CIE</sub>	81.26	-2.88	71.56	71.62	92
G <sub>CIE</sub>	52.23	-42.41	13.6	44.55	162
B <sub>CIE</sub>	30.57	1.41	-46.46	46.49	272



%Regularität

$g^*_{H,rel} = 20$

$g^*_{C,rel} = 37$

	$L^*=L^*_a$	$a^*_a$	$b^*_a$	$C^*_{ab,a}$	$h^*_{ab,a}$
O <sub>Ma</sub>	50.5	76.92	64.55	100.42	40
Y <sub>Ma</sub>	92.66	-20.69	90.75	93.08	103
L <sub>Ma</sub>	83.63	-82.75	79.9	115.04	136
C <sub>Ma</sub>	86.88	-46.16	-13.55	48.12	196
V <sub>Ma</sub>	30.39	76.06	-103.59	128.52	306
M <sub>Ma</sub>	57.3	94.35	-58.41	110.97	328
N <sub>Ma</sub>	0.01	0.0	0.0	0.0	0
W <sub>Ma</sub>	95.41	0.0	0.0	0.0	0
R <sub>CIE</sub>	39.92	58.74	27.99	65.07	25
J <sub>CIE</sub>	81.26	-2.88	71.56	71.62	92
G <sub>CIE</sub>	52.23	-42.41	13.6	44.55	162
B <sub>CIE</sub>	30.57	1.41	-46.46	46.49	272



%Regularität

$g^*_{H,rel} = 20$

$g^*_{C,rel} = 37$

	$L^*=L^*_a$	$a^*_a$	$b^*_a$	$C^*_{ab,a}$	$h^*_{ab,a}$
O <sub>Ma</sub>	50.5	76.92	64.55	100.42	40
Y <sub>Ma</sub>	92.66	-20.69	90.75	93.08	103
L <sub>Ma</sub>	83.63	-82.75	79.9	115.04	136
C <sub>Ma</sub>	86.88	-46.16	-13.55	48.12	196
V <sub>Ma</sub>	30.39	76.06	-103.59	128.52	306
M <sub>Ma</sub>					

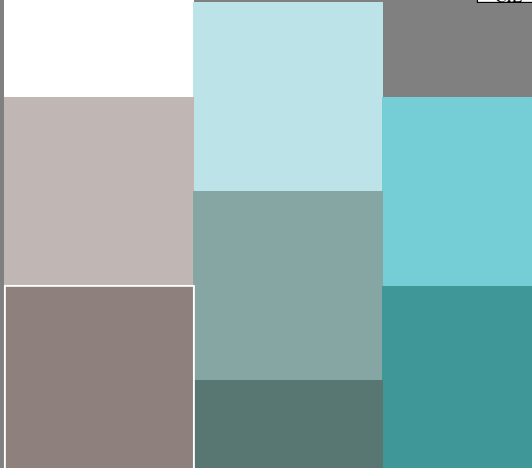
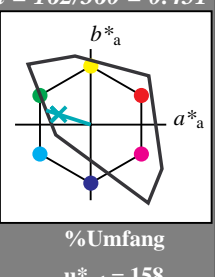
Siehe ähnliche Dateien: <http://www.ps.bam.de/OG44/>  
 Technische Information: <http://www.ps.bam.de> Version 2.1, io=0,0?

### Eingabe: Farbmétrisches Fernseh-Licht-System TLS00

für Bunton  $h^* = lab^*h = 162/360 = 0.451$   
 $lab^*tch$  und  $lab^*nch$

D65: Bunton G  
 LCH\*Ma: 86 62 162  
 olv\*Ma: 0.0 1.0 0.65

Dreiecks-Helligkeit



### TLS00; adaptierte CIELAB-Daten

	$L^*=L^*_a$	$a^*_a$	$b^*_a$	$C^*_{ab,a}$	$h^*_{ab,a}$
O <sub>Ma</sub>	50.5	76.92	64.55	100.42	40
Y <sub>Ma</sub>	92.66	-20.69	90.75	93.08	103
L <sub>Ma</sub>	83.63	-82.75	79.9	115.04	136
C <sub>Ma</sub>	86.88	-46.16	-13.55	48.12	196
V <sub>Ma</sub>	30.39	76.06	-103.59	128.52	306
M <sub>Ma</sub>	57.3	94.35	-58.41	110.97	328
N <sub>Ma</sub>	0.01	0.0	0.0	0.0	0
W <sub>Ma</sub>	95.41	0.0	0.0	0.0	0
R <sub>CIE</sub>	39.92	58.74	27.99	65.07	25
J <sub>CIE</sub>	81.26	-2.88	71.56	71.62	92
G <sub>CIE</sub>	52.23	-42.41	13.6	44.55	162
B <sub>CIE</sub>	30.57	1.41	-46.46	46.49	272

$n^* = 1,0$



relative Buntheit  $c^*$

$n^* = 0,00$

$n^* = 0,25$

$n^* = 0,50$

$n^* = 1,00$



Schwarzeit  $n^*$

### Ausgabe: Farbmétrisches Fernseh-Licht-System TLS00

für Bunton  $h^* = lab^*h = 162/360 = 0.451$

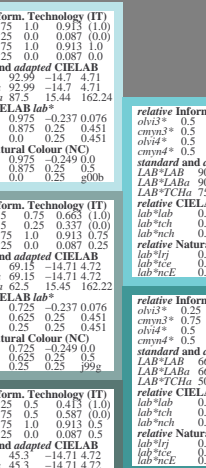
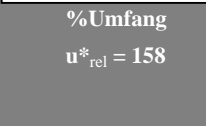
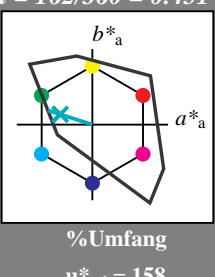
$lab^*tch$  und  $lab^*nch$

D65: Bunton G

LCH\*Ma: 86 62 162

olv\*Ma: 0.0 1.0 0.65

Dreiecks-Helligkeit



1,00

0,75

0,50

0,25

0,00

-0,25

-0,50

-0,75

-1,00

-1,25

-1,50

-1,75

-2,00

1,00

0,75

0,50

0,25

0,00

-0,25

-0,50

-0,75

-1,00

-1,25

-1,50

-1,75

-2,00

1,00

0,75

0,50

0,25

0,00

-0,25

-0,50

-0,75

-1,00

-1,25

-1,50

-1,75

-2,00

1,00

0,75

0,50

0,25

0,00

-0,25

-0,50

-0,75

-1,00

-1,25

-1,50

-1,75

-2,00

1,00

0,75

0,50

0,25

0,00

-0,25

-0,50

-0,75

-1,00

-1,25

-1,50

-1,75

-2,00

1,00

0,75

0,50

0,25

0,00

-0,25

-0,50

-0,75

-1,00

-1,25

-1,50

-1,75

-2,00

1,00

0,75

0,50

0,25

0,00

-0,25

-0,50

-0,75

-1,00

-1,25

-1,50

-1,75

-2,00

1,00

0,75

0,50

0,25

0,00

-0,25

-0,50

-0,75

-1,00

-1,25

-1,50

-1,75

-2,00

1,00

0,75

0,50

0,25

0,00

-0,25

-0,50

-0,75

-1,00

-1,25

-1,50

-1,75

-2,00

1,00

0,75

0,50

0,25

0,00

-0,25

-0,50

-0,75

-1,00

-1,25

-1,50

-1,75

-2,00

1,00

0,75

0,50

0,25

0,00

-0,25

-0,50

-0,75

-1,00

-1,25

-1,50

-1,75

-2,00

1,00

0,75

0,50

0,25

0,00

-0,25

-0,50

-0,75

-1,00

-1,25

-1,50

-1,75

-2,00

1,00

0,75

0,50

0,25

0,00

-0,25

-0,50

-0,75

-1,00

-1,25

-1,50

-1,75

-2,00

1,00

0,75

0,50

0,25

0,00

-0,25

-0,50

-0,75

-1,00

-1,25

-1,50

-1,75

-2,00

1,00

0,75

0,50

0,25

0,00

-0,25

-0,50

-0,75

-1,00

-1,25

-1,50

-1,75

-2,00

1,00

0,75

0,50

0,25

0,00

-0,25

-0,50

-0,75

-1,00

-1,25

-1,50

-1,75

-2,00

1,00

0,75

0,50

0,25

0,00

-0,25

-0,50

-0,75

-1,00

-1,25

-1,50

-1,75

-2,00

1,00

0,75

0,50

0,25

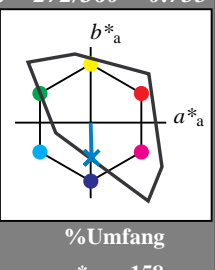
Eingabe: Farbmétrisches Fernseh-Licht-System TLS00  
für Bunton  $h^* = lab^*h = 272/360 = 0.755$   
 $lab^*tch$  und  $lab^*nch$

D65: Bunton B

LCH\*Ma: 65 49 272

olv\*Ma: 0.0 0.61 1.0

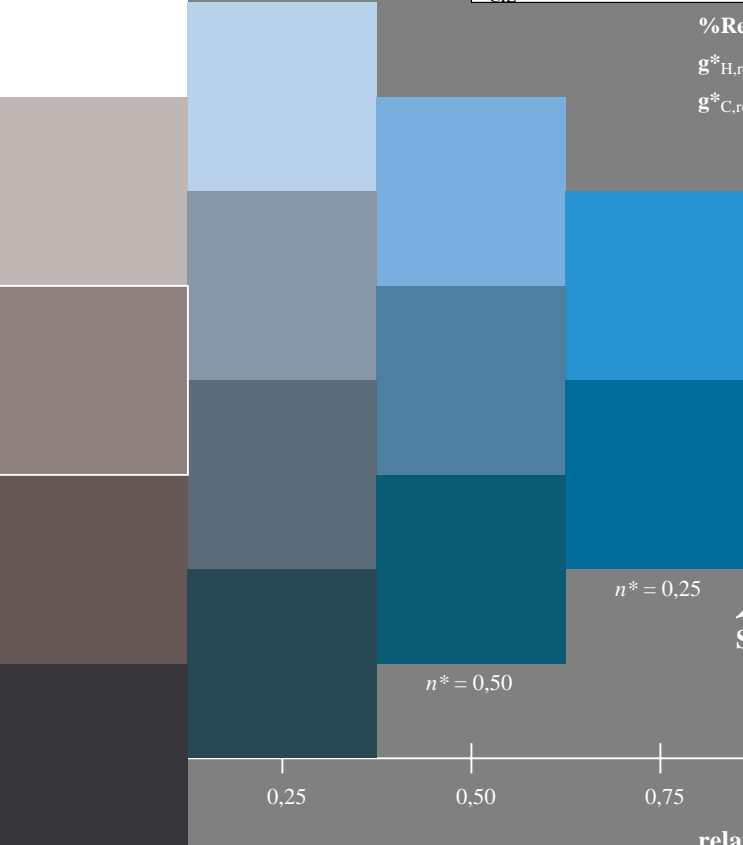
Dreiecks-Helligkeit



## TLS00; adaptierte CIELAB-Daten

	$L^*=L^*_a$	$a^*_a$	$b^*_a$	$C^*_{ab,a}$	$h^*_{ab,a}$
O_Ma	50.5	76.92	64.55	100.42	40
Y_Ma	92.66	-20.69	90.75	93.08	103
L_Ma	83.63	-82.75	79.9	115.04	136
C_Ma	86.88	-46.16	-13.55	48.12	196
V_Ma	30.39	76.06	-103.59	128.52	306
M_Ma	57.3	94.35	-58.41	110.97	328
N_Ma	0.01	0.0	0.0	0.0	0
W_Ma	95.41	0.0	0.0	0.0	0
R_CIE	39.92	58.74	27.99	65.07	25
J_CIE	81.26	-2.88	71.56	71.62	92
G_CIE	52.23	-42.41	13.6	44.55	162
B_CIE	30.57	1.41	-46.46	46.49	272

## %Regularität

 $g^*_{H,rel} = 20$  $g^*_{C,rel} = 37$ 

## Ausgabe: Farbmétrisches Fernseh-Licht-System TLS00

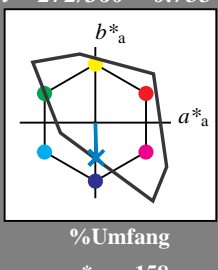
für Bunton  $h^* = lab^*h = 272/360 = 0.755$  $lab^*tch$  und  $lab^*nch$ 

D65: Bunton B

LCH\*Ma: 65 49 272

olv\*Ma: 0.0 0.61 1.0

Dreiecks-Helligkeit



## %Regularität

 $g^*_{H,rel} = 20$  $g^*_{C,rel} = 37$ 